

МИНИСТЕРСТВО ВЫСШЕГО И СРЕДНЕГО  
СПЕЦИАЛЬНОГО ОБРАЗОВАНИЯ

ISSN 0485-8972

# РАДИО- ТЕХНИКА

95 | 90



“ОСНОВА”

класса  $Z_1^a$ . Все функции ансамбля могут быть периодически про-

должены. Кроме  $p$ ,  $r$ ,  $l$ , на рис. 4 приведены оптимальные зна-  
чения параметра  $d = 1 - \text{mes}Y/t$ , характеризующего длительность  
интервала времени, в течение которого все модуляторы радиомет-  
тра находятся в закрытом состоянии. Можно показать, что  $d =$   
 $= 1 - pN/n$ .

Таким образом, коэффициент перекрытия  $r$  оптимальных си-  
стем модулирующих функций зависит от отношения сигнал-шум  
на входе. При малых отношениях оптимальным является радио-  
метр с семейством функций Уолша, обладающих максимальным  
коэффициентом перекрытия  $r = 1/2$ , а разделение канальных сиг-  
налов осуществляется по форме сигналов. По мере роста отно-  
шения сигнал-шум коэффициент перекрытия уменьшается, и начи-  
ная с некоторого значения, оптимальным становится приемник,  
в котором используется система функций с  $r = 0$ , т. е. реализуется  
принцип временного уплотнения и разделения канальных сиг-  
налов.

При  $N=1$  полученные результаты полностью соответствуют  
полученным в работе [5] для одноканального модуляционного ра-  
диометра.

**Список литературы:** 1. Есенкина Н. А., Корольков Д. В., Парийский Ю. Н. Радиотелескопы и радиометры. М., 1973. 416 с. 2. Кулаков Е. И., Трифонов А. П. Оценка параметров сигналов на фоне помех. М., 1978. 296 с. 3. Экланд Н., Тендал Р. Выпуклый анализ и вариационные проблемы. М., 1979. 400 с. 4. Савакаша У. Optimal control of certain type of linear distributed-parameter systems// IEEE Trans. on Automatic Control. 1966. 11, №1. Р. 34—45. 5. Оптимальная  
структуря и потенциальная чувствительность модуляционного радиометра /В. И. Антофеев, А. С. Султанов, А. С. Воронова и др./Радиотехника. 1987.  
Вып. 83. С. 82—87.

Поступила в редакцию 12.01.89

УДК 550.385.37; 550.388.2

К. П. ГАРМАШ, А. М. ГОКОВ, А. И. ГРИТЧИН,

В. А. МИСЮРА, д-р техн. наук,

Л. Ф. ЧЕРНОГОР, д-р физ.-мат. наук

## ИССЛЕДОВАНИЕ РЕАКЦИИ НИЖНЕЙ ИОНОСФЕРЫ НА УДАЛЕННЫЕ МОЩНЫЕ ЗЕМЛЕТРЯСЕНИЯ

Землетрясения достаточной интенсивности могут служить фик-  
сированным в пространстве и во времени источником возмущений  
в ионосфере. Впервые на это было указано в работе [1]. Это  
относится как к стадии подготовки землетрясения, так и к момен-  
ту сейсмического толчка. До настоящего времени проведены не-  
многочисленные наземные и спутниковые эксперименты по обна-

ружению аномального электромагнитного излучения от эпицентра готовящегося землетрясения. По данным сети станций вертикального зондирования выделены возмущения параметров средней ионосферы (высоты  $z \sim 100$ — $300$  км), связанные с сейсмической активностью. В литературе имеются результаты, полученные для этого же диапазона высот с помощью доплеровских измерений и по характеристикам распространяющихся в нижней ионосфере ( $z < 100$  км) над эпицентром землетрясения гектометровых радиоволн.

Таким образом, возможные эффекты в Д-области ионосферы, обусловленные удаленными землетрясениями, пока не изучались.

В работе описаны результаты экспериментального исследования методом частичных отражений (ЧО) возмущений в нижней ионосфере, сопровождающих удаленные мощные землетрясения. Данный метод позволяет получать высотные профили параметров сигнала и нижней ионосферы с высоким временным разрешением ( $\Delta t = 1$  с).

*Экспериментальная техника и методика исследований.* Наблюдения ЧО сигналов проводились на радиотехническом ионосферном комплексе ХГУ [2], имеющем следующие параметры: диапазон частот  $f = 1,5$ — $4,5$  МГц, длительность зондирующих импульсов  $t_0 = 25$  мкс, их период следования  $T = 1$  с, мощность двухканального радиопередающего устройства  $P = 200$  кВт, коэффициент усиления антени  $G = 200$ . В описываемых ниже экспериментах  $f = 2,6$ — $2,8$  МГц,  $P \cdot G = 10$  МВт,  $t_0 = 25$  мкс. Обработка поступающей информации проводилась на ЭВМ ЕС-1020.

Регистрация отраженных от неоднородностей ионосферной плазмы сигналов велась на перфоленту с 14 высотных уровнями, начиная с  $z = 45$  км, через 3, 6, 12 км. Одновременно с регистрацией смеси сигнал плюс шум делались две шумовые выборки. Отдельно регистрировались обыкновенная (o) и необыкновенная (n) компоненты как смеси сигнал плюс шум, так и шума. Длительность регистраций составляла примерно 1,5—8 ч. Измерения проводились вблизи г. Харькова. Поскольку оповещение о предстоящих землетрясениях отсутствовало, выполнен ретроспективный анализ данных. Банк экспериментальных регистраций ЧО сигналов сопоставлялся с каталогами сильных (с магнитудой более 5) землетрясений за период 1984—1988 гг. Затем из них отбирались лишь те регистрации, где, по нашим данным, отсутствовали другие мешающие факторы. В итоге анализу подвергались 14 сеансов. Информация о них приведена в табл. 1. Все землетрясения были неглубокие ( $\leq 50$  км).

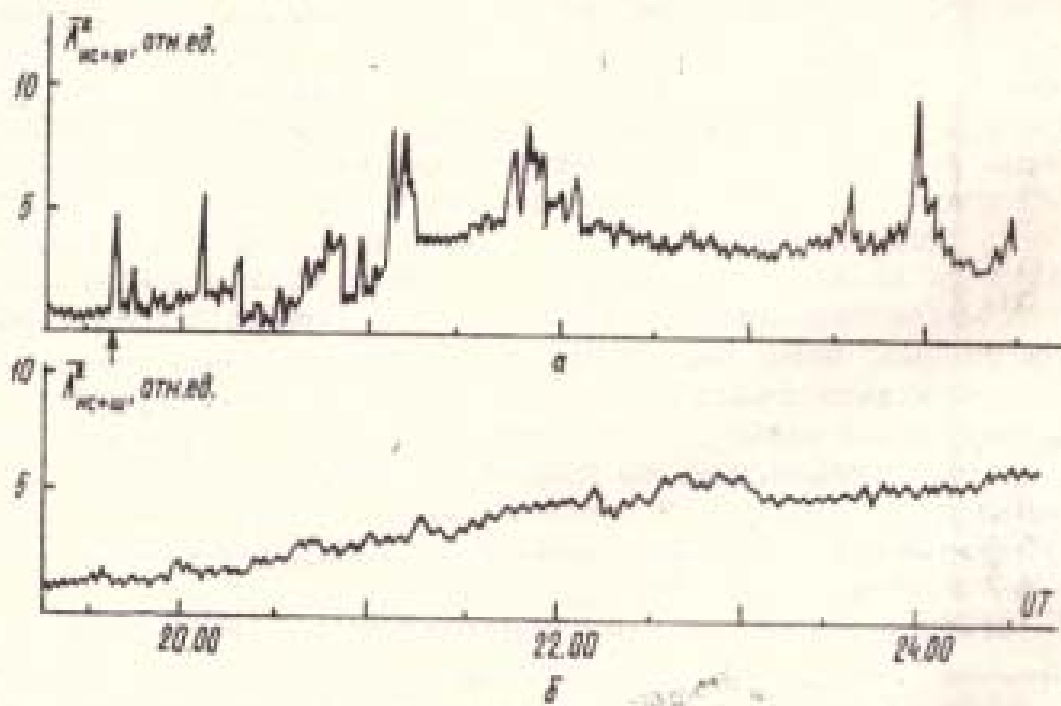
По измеренным амплитудам они компонент принимаемых сигналов  $A_{o,n}$  и шума  $A_{o,n}$  строились временные ряды для  $\bar{A}_{o,n}^2$ ,  $\bar{A}_{o,n}^2$  (чарта сверху означает усреднение), их дисперсий  $D$ , коэффициентов взаимной корреляции их  $RA_{o,n}^2 A_{o,n}^2$  и  $RA_{o,n}^2 A_{o,n}^2$ . Применялось скользящее среднее на интервале 30 с со сдвигом 10 с или 3 мин со сдвигом на 1 мин.

*Результаты экспериментов.* Пример зависимости  $\bar{A}_{nc+sh}^2(t)$  для высоты  $z=81$  км, полученной по измерениям 28.09.87, приведен на рисунке, позиция *a*. Расстояние до эпицентра составляло около 12 тыс. км. В момент землетрясения (стрелка на рисунке) в интер-

Таблица 1

Дата	Место землетрясения, координаты		Мощность землетрясения (в балах по 12-балль- ной шкале)
27.03.84	3,81°S	145,7 °E	~7
24.06.84	43,74 °S	170,76 °E	~7
31.08.84	17,97 °S	172,5 °E	~7
19.09.85	19,06 °N	102,5 °W	~8
03.09.86	41,5 °N	44 °W	~5
17.09.86	39 °N	73 °W	~6
29.09.86	10,6 °N	57,05 °E	5—6
02.10.86	20,38 °N	45,7 °W	5—6
31.10.86	40 °N	70 °W	5—6
28.09.87	архипелаг	Вануату	≥ 7
01.10.87	вблизи	Лос-Анджелеса	8—9
08.10.87	53 °N	160 °E	5—6
17.12.87	Япония		7—8
15.03.88	42 °N	76 °W	5—6

вале высот  $z=65—90$  км, как и в других случаях, наблюдается возрастание интенсивностей принимаемого сигнала в несколько раз



продолжительностью до 2,5—3 мин. Длительность фронтов около 10—30 с. Конечное временное разрешение ( $\Delta t=1$  с) не позволило

определить скорость распространения самого первого возмущения. Очевидно, что она не менее сотен километров в секунду. Такую скорость имеют магнитогидродинамические (МГД) волны.

Таблица 2

Время запаздывания, мин	Длительность процесса, мин	Продолжительность квазипериода, мин	Каждущаяся скорость, км/с	Возможный тип волн
?	1	—	10 <sup>2</sup>	МГД
4	1	—	50	Гидротропная?
26—32	25	3	6,3—7,4	Поверхностная Релея
60	12	3,5	3,3	
82	10	1,5—2	2,4	Медленная МГД
123	23	2	1,7	
230	7	?	0,9	Внутренние
260	18	3	0,8	Гравитационные
290	7	2,5	0,7	

Основные параметры возмущений приведены в табл. 2. Из нее видно, что кажущаяся скорость  $V$ , т. е. отношение расстояния между источником и приемником к времени запаздывания сигнала возмущений, изменяется в широких пределах. Лучше всего изучены процессы с  $V \approx 1$  км/с. Давно описаны волны с  $V \approx 3—4$  км/с [3]. Волны со скоростями 1—2, 2—3 км/с исследовались в работе [4]. Переносы возмущений с  $V \approx 6—8$  км/с обнаружены в работе [5]. Их природа пока не выяснена. Наконец волновые процессы с  $V=10—100$  км/с теоретически изучались в ряде работ.

Заметим, что анализ экспериментальных данных, полученных для землетрясений, удаленных на расстояние не более 1—3 Мм, позволил зафиксировать лишь небольшие скорости передачи возмущений ( $V \approx 0,5—0,9, 1—2, 3—4$  км/с).

Поведение  $\bar{A}_{\text{вс+ш}}^2(t)$  в основном аналогично  $\bar{A}_{\text{вс}}^2(t)$ . Но есть и некоторые отличия. Например, для обыкновенной компоненты вместо скорости  $V \approx 0,9$  км/с наблюдалась скорость  $V \approx 1$  км/с. Кроме того, значительное увеличение (в 3—4 раза) интенсивности обыкновенной волны появилось примерно на 200 минуте и длилось около 37 мин.

Анализ  $D_{\bar{A}_{\text{вс}}^2}^2$  и  $R_{\bar{A}_{\text{вс}}^2}^2$  показал, что они изменяются практически синхронно с интенсивностями сигнала. В то же время статистические характеристики шума изменились иначе, чем соответствующие характеристики ЧО сигналов. В частности, отмечались кажущиеся скорости распространения возмущений; иногда в ночное время перед землетрясением интенсивность шумов уменьшалась в 2—3 раза.

На рисунке (позиция б) для сравнения приведена зависимость  $\bar{A}_{\text{вс+ш}}^2(t)$ , полученная в сходных гелиогеофизических услови-

ях, но при отсутствии заметных землетрясений для  $z=81$  км. Сопоставление позиций рисунка, а также повторяемость явлений, зарегистрированных после сильных землетрясений, позволяет связать описанные эффекты с влиянием мощных землетрясений на нижнюю ионосферу.

Описанные выше возмущения во временном поведении интенсивности смеси ЧО сигнал плюс шум (наблюдаемые всплески) могут быть связаны с мощными удаленными землетрясениями. Конечно, этот вывод следует рассматривать как предварительный и нуждающийся в проверке на еще большем статистическом материале.

**Список литературы:** 1. Бирфельд Л. Г., Таранцев А. В. Явление воздействия сейсмичности Земли через акустические волны на ионосферу//Бюллетень госкомизобретений. 1973. № 42. С. 41. 2. Стационарный комплекс аппаратуры для исследования нижней ионосферы методом частичных отражений//А. И. Гритчин, В. Л. Дорохов, Л. Г. Коншевая и др.//Вестн. Харьк. ун-та. 1988. № 318. Радиофизика и электроника. С. 21—24. 3. Пасечник Н. П. Характеристики сейсмических волн при ядерных взрывах и землетрясениях. М., 1979. 192 с. 4. Годаков Ю. В., Коста А., Пилипенко В. А. Геомагнитные пульсации, возбуждаемые при сильных землетрясениях//Геомагнетизм и астрономия. 1985. № 5. С. 824—828. 5. Кольцов В. В., Погалова Н. И., Черток Е. И. Короткопериодные вариации ионосферных параметров во время удаленного землетрясения. М., 1986. 19 с. (Препр. АН СССР. Ин-т земного магнетизма, ионосферы и распространения радиоволн; 58 (672)).

Поступила в редакцию 13.04.89

УДК 621.396

Н. Н. МИНЕРВИН, д-р техн. наук, В. П. СИРОТИН

## О ТОЧНОСТИ ИЗМЕРЕНИЯ ИНТЕГРАЛЬНОЙ ЭЛЕКТРОННОЙ КОНЦЕНТРАЦИИ В ТУРБУЛЕНТНОЙ СРЕДЕ

Измерение интегральной концентрации электронов вдоль траектории прохождения радиолокационного сигнала можно производить по регулярным искажениям его фазочастотного спектра [1], возникающим из-за дисперсионного эффекта распространения радиоволны в ионизированной среде, следствием турбулентного характера которой являются дополнительные фазовые искажения, снижающие качество получаемой оценки. Влияние модулирующей помехи, обусловленной наличием случайных неоднородностей, на точность оптимального в отсутствие этой помехи измерения параметров сигнала изучена недостаточно. Между тем эта задача сравнительно просто может быть решена для сигнала  $i(t)$  с несущей частотой  $\omega_0$ , намного большей критической частоты плазмы, и равными по амплитуде спектральными составляющими, максимальная разность частот которых  $\Delta\Omega \ll \omega_0$ .

Для простоты анализа рассмотрим случай равномерно распределенных по частоте ( $2M+1$ ) узких спектральных компонентов,